tert-Butylimino-σ-Organovanadium(V)-Verbindungen Darstellung und NMR-spektroskopische Untersuchungen

tert-Butylimino-σ-Organovanadium(V) Compounds Synthesis and NMR Spectroscopic Studies

Fritz Preuss* und Harald Becker

Fachbereich Chemie der Universität Kaiserslautern, Postfach 3049, D-6750 Kaiserslautern

Z. Naturforsch. 41b, 185-190 (1986); eingegangen am 11. Oktober 1985

σ-Organovanadium(V) Compounds, Preparation, NMR Spectra

The compounds ${}^{\prime}C_4H_9N=VR(O{}^{\prime}C_4H_9)_2$ (R = CH₃, ${}^{\prime}C_4H_9$, CH₂SiMe₃, Mes) and ${}^{\prime}C_4H_9N=VMes_2(O{}^{\prime}C_4H_9)$ have been prepared by reaction of tert-butyliminovanadium(V) chlorides with LiR; ${}^{\prime}C_4H_9N=V(CH_2SiMe_3)_2(O{}^{\prime}C_4H_9)$ and ${}^{\prime}C_4H_9N=VR_3$ (R = CH₂SiMe₃, Mes) could only be characterized by NMR spectroscopy. The ${}^{1}H$, ${}^{13}C$ and ${}^{51}V$ NMR spectra are discussed; the constants of ${}^{51}V$, ${}^{14}N$ coupling have been determined.

An Alkyl- und Arylverbindungen des Vanadiums(V) sind bekannt:

 $CH_3VO(OR)_2$ mit $R = {}^sC_4H_9$, tC_4H_9 , iC_3H_7 [1], $Me_3SiCH_2VO(O^tC_4H_9)_2$ [2], $(Me_3SiCH_2)_3VO$ [3], Mes_3VO [4], $C_6H_5VOCl_2$ [5], $C_6H_5VO(O^tC_3H_7)_2$ [6], $Li[{}^nC_4H_9VO(O^tC_4H_9)_3]$ [2].

Mit Ausnahme der stabilen Trimethylsilylmethyl-Verbindungen und des at-Komplexes sind die übrigen Verbindungen nur bei tieferer Temperatur längere Zeit unzersetzt haltbar. Die Schwierigkeiten bei der Synthese von σ -Vanadium(V)-organylen, insbesondere mit mehr als einer Alkyl- oder Arylgruppe, sind vorwiegend auf das starke Reduktionsvermögen der Oganylierungsreagenzien MR_n gegenüber Vanadium(V) zurückzuführen. Die Redoxstabilität läßt sich erhöhen durch Austausch des Oxoliganden gegen den *tert*-Butyliminoliganden (starker +I-Effekt der tC_4H_9 -Gruppe, vgl. $O=VX_3$ und ${}^tC_4H_9N=VX_3$ mit X=Cl, Br [7, 8]).

Darstellung der Verbindungen

Monoalkyl(Aryl)-Verbindungen sind auf folgendem Wege zugänglich:

$${}^{\prime}C_{4}H_{9}N=V(O^{\prime}C_{4}H_{9})_{2}Cl + LiR \rightarrow {}^{\prime}C_{4}H_{9}N=VR(O^{\prime}C_{4}H_{9})_{2} + LiCl$$
 (1)
 $R = CH_{3}, {}^{n}C_{4}H_{9}, CH_{2}SiMe_{3}, 2.4.6-(CH_{3})_{3}C_{6}H_{2}(Mes)$
1 2 3 4

Verlag der Zeitschrift für Naturforschung, D-7400 Tübingen 0340-5087/86/0200-0185/\$ 01.00/0

Die Monoorganyle sind hellgelbe Öle (4: gelbe Kristalle), löslich in unpolaren organischen Solventien, und liegen in Lösung monomer vor. An der Luft erfolgt rasche (3: langsam) Zersetzung unter Braunbzw. Schwarzfärbung; 3 und 4 sind in reiner Substanz und in Lösung extrem lichtempfindlich. Im Gegensatz zu den übrigen Verbindungen ist die n-Butylverbindung 2 bei Raumtemperatur sehr instabil und auch unter Argon bei tiefer Temperatur (-78 °C) nur einige Tage unzersetzt haltbar. 2 ist ein weiteres Beispiel für eine isolierbare Alkylvanadium-Verbindung mit β -ständigen Wasserstoffatomen. Bekannt sind RV(NEt₂)₃ (R = C_2H_5 , nC_3H_7 , nC_4H_9) [9] und $\text{Li}[^n\text{C}_4\text{H}_9\text{VO}(\text{O}'\text{C}_4\text{H}_9)_3]$. Offenbar wird die β -Eliminierung von Alken sterisch behindert durch die anderen sperrigen Liganden am Vanadiumatom. Die thermische Stabilität der Monoalkyle(aryle) nimmt in der Reihe Mes > $CH_2SiMe_3 > CH_3 \gg {}^nC_4H_9$ ab. Bei der Darstellung von 2 und 3 entsteht das Alkoxid ${}^{t}C_{4}H_{9}N=V(O^{t}C_{4}H_{9})_{3}$ [8] in größeren Mengen als Dismutationsprodukt.

Als Vertreter der Diorganyle wird die Mesitylverbindung **5** synthetisiert:

$${}^{t}C_{4}H_{9}N = V(O^{t}C_{4}H_{9})Cl_{2} + 2 \text{ LiMes} \rightarrow {}^{t}C_{4}H_{9}N = VMes_{2}(O^{t}C_{4}H_{9}) + 2 \text{ LiCl}$$
 (2)

5 (orange-gelbe Kristalle) ist thermisch beständig (Schmp. 125 °C, ohne Zersetzung!) und zeigt im Löslichkeitsverhalten sowie bei Luft- und Lichteinwirkung ähnliche Eigenschaften wie 4. In Lösung liegen monomere Moleküle vor. Die Trimethylsilylmethyl-Verbindung 6, gebildet gemäß (2), konnte

^{*} Sonderdruckanforderungen an Prof. Dr. Fritz Preuss.

nicht in reiner Form isoliert werden; sie unterliegt bei der fraktionierten Destillation i. Vak. einer partiellen Dismutation:

$$2^{t}C_{4}H_{9}N=V(CH_{2}SiMe_{3})_{2}(O^{t}C_{4}H_{9}) \stackrel{\triangle}{=}$$

$$6$$

$${}^{t}C_{4}H_{9}N=V(CH_{2}SiMe_{3})(O^{t}C_{4}H_{9})_{2} +$$

$$3$$

$${}^{t}C_{4}H_{9}N=V(CH_{2}SiMe_{3})_{3}$$

$$7$$

$$(3)$$

Man erhält ein gelbes Öl, in dem 6 gegenüber 3 angereichert ist, während 7 als nichtflüchtige Verbindung im Destillationsrückstand verbleibt.

Die Triorganyle bilden sich bei der Umsetzung des Trichlorids **10** mit LiR:

$${}^{\prime}C_{4}H_{9}N=VCl_{3} + 3 \text{ LiR} \rightarrow 10$$
 ${}^{\prime}C_{4}H_{9}N=VR_{3} + 3 \text{ LiCl}$
 $R = CH_{2}SiMe_{3} (7), Mes (8)$
(4)

7 und 8 konnten jedoch nicht in reiner Form dargestellt werden. Alle Versuche, die Rohprodukte (braune Öle, leichtlöslich in *n*-Pentan) durch Kristallisation (langsames Abkühlen der Lösung auf −80°C) oder Destillation i. Hochvak. (Zersetzung unter Gasentwicklung bzw. Abspaltung von Mesitylen) zu reinigen, waren erfolglos. Die Reaktion von 10 mit Methyllithium in *n*-Pentan bei −80 °C verläuft unter Reduktion und Gasentwicklung; aus dem schwarzen Reaktionsgemisch läßt sich keine Substanz isolieren.

¹H-NMR-Spektren

Von besonderem Interesse sind die Resonanzen der Methyl- und Methylenprotonen, die in direkter Nachbarschaft zum Vanadiumkern stehen (Tab. I); die Signale zeigen in Abhängigkeit von der Temperatur eine starke Veränderung von Linienform und Linienbreite, was auf die Quadrupolrelaxation des koppelnden ⁵¹V-Kernes (I = 7/2) zurückzuführen ist. Bei Raumtemperatur werden trotz Verstärkung des Spektrums keine bzw. nur breite, plateauförmige Resonanzsignale ohne Feinstruktur beobachtet; eine Aufspaltung zum Oktett erfolgt auch nicht bei Erhöhung der Temperatur (373 K). Durch starke Temperaturerniedrigung wird die Quadrupolrelaxation beschleunigt; gemäß der Theorie [10] verschmälern sich hierbei die breiten Protonenresonanzen zu Singuletts.

6 ist ein Beispiel für ein Molekül der allgemeinen Struktur Mab(CH₂-R)₂, in dem die Methylenprotonen der prochiralen CH2SiMe3-Gruppe magnetisch nicht-äquivalent (diastereotop) sind. Anstelle des erwarteten AB-Spinsystems findet man bei tieferer Temperatur nur zwei Singuletts gleicher Intensität. Die Signale der n-Butylgruppe in 2 erscheinen bei Raumtemperatur in drei Gruppen. Aufgrund des Integrationsverhältnisses 4:2:3 und der Linienbreite wird die Resonanz bei 2,17 ppm den Protonen der α und β -ständigen CH₂-Gruppen zugeordnet. Die β -ständige Methylengruppe geht offenbar wegen des Quadrupoleinflusses des 51V-Kerns keine Spin-Spin-Wechselwirkung mit der γ -Methylengruppe ein, so daß letztere nur mit den Protonen der endständigen Methylgruppe koppelt (Quartett!). Der Einfluß des Vanadiumkernes macht sich noch in einer Verbreiterung der vier Linien bemerkbar. Auch bei tiefer Temperatur fallen die Resonanzen der α - und β -Methylenprotonen in einem Singulett zusammen.

¹³C-NMR-Spektren

Die ¹³C-Resonanzen (Tab. II) der primären bzw. quartären C-Atome der *tert*-Butylimino-, *tert*-Butoxo-

Verbindung	Temperatur [K]	$\begin{array}{c} \delta \; [ppm] \\ V - CH_3/V - CH_2 - \end{array}$	⊿ν1/2 [Hz]
${}^{\prime}C_{4}H_{9}N = VCH_{3}(O^{\prime}C_{4}H_{9})_{2}$	293		
1	193	1,55 (s)	6
${}^{t}C_{4}H_{9}N = V^{n}C_{4}H_{9}(O^{t}C_{4}H_{9})_{2}$	293	$2,17^{a}$	40
2	193	$2,32 (s)^b$	8
${}^{t}C_{4}H_{9}N = VCH_{2}SiMe_{3}(O^{t}C_{4}H_{9})_{2}$	293	1,6°	40
3	193	1,68 (s)	6
${}^{t}C_{4}H_{9}N = V(CH_{2}SiMe_{3})_{2}(O{}^{t}C_{4}H_{9})$	293		
6	193	2,23 (s); 2,18 (s)	6
${}^{\prime}C_4H_9N=V(CH_2SiMe_3)_3$	293	$1,7^{c}$	80
7	193	1,91 (s)	12

Tab. I. 1 H-NMR-Spektren (C_7D_8) der Alkylvanadium(V)-Verbindungen.

^a Plateauförmiges Signal der *α*- und *β*-CH₂-Gruppen (*γ*-CH₂: 1,45 (q), ${}^{3}J_{^{1}H,^{1}H} = 7,3$; *δ*-CH₃: 0,97 (t), ${}^{3}J_{^{1}H,^{1}H} = 7,3$); ^b Signal der *α*- und *β*-CH₂-Gruppen (*γ*-CH₂: 1,48 (q), ${}^{3}J_{^{1}H,^{1}H} = 7,3$; *δ*-CH₃: 1,04 (t), ${}^{3}J_{^{1}H,^{1}H} = 7,3$); ^c plateauförmiges Signal.

Verbindung R = CH ₃	Temperatur [K]	δ [ppm] VNCR ₃ ^a	VOCR ₃ ^a	VC	Δν1/2 [Hz]
$^{t}C_{4}H_{9}N = VCH_{3}(O^{t}C_{4}H_{9})_{2}$	293		80,2		
1	178	75,4	80,1	35,9	120
${}^{\prime}C_{4}H_{9}N = V^{n}C_{4}H_{9}(O^{\prime}C_{4}H_{9})_{2}$	293		79,1		
2	193	75,2	79,8	64,4 ^b	100
${}^{t}C_{4}H_{9}N = VCH_{2}SiMe_{3}(O^{t}C_{4}H_{9})_{2}$	293	77,8	80,3	$50,7^{d}$	750
3 °	193	75,8	80,2	47,2	80
$^{t}C_{4}H_{9}N = VMes(O^{t}C_{4}H_{9})_{2}$	293		81,9		
4	193	76,4	81,5	188,0	330
${}^{t}C_{4}H_{9}N = VMes_{2}(O^{t}C_{4}H_{9})$	293	77,5	82,3		
5	193	78,3	83,2	198,0	800
${}^{t}C_{4}H_{9}N = V(CH_{2}SiMe_{3})_{2}(O^{t}C_{4}H_{9})$	293				
6 ^c	193	76,8	80,8	70,5	120
${}^{\prime}C_4H_9N=V(CH_2SiMe_3)_3$	293			$83,5^{d}$	530
7 °	193	78,5		85,6	350
${}^{t}C_{4}H_{9}N = V(O^{t}C_{4}H_{9})_{3}$	293		83,4		
9	193	76,8	79,8		
${}^{t}C_{4}H_{9}N = VCl_{3}$	293	93,5			
10	193	94,2			

Tab. II. 13 C-NMR-Spektren (protonenentkoppelt, C_7D_8).

 a δ (CH₃) liegt im Bereich 31–33 ppm, ausgenommen **9** (N'C₄H₉: 35,4; O'C₄H₉: 36,3) und **10** (N'C₄H₉: 21,2); b 36,6 (β -CH₂); 27,7 (γ -CH₂); 14,5 (δ -CH₃); c SiMe₃, δ (CH₃): 1,9–2,4 ppm; d plateauförmiges Signal.

und Trimethylsilylgruppe unterscheiden sich jeweils bei den verschiedenen Organylverbindungen in der chemischen Verschiebung nur geringfügig voneinander, was im Vergleich zum Alkoxid 9 zeigt, daß die am Vanadium gebundenen Alkyl- und Arylgruppen nahezu keinen Einfluß haben auf die ¹³C-Verschiebung der benachbarten 'C₄H₉N- bzw. 'C₄H₉O-Gruppen. Dagegen bewirkt die Substitution der 'C₄H₉O-Gruppen durch Chlor (9→10) eine Tieffeldverschiebung für das quartäre C-Atom und eine Hochfeldverschiebung für die primären C-Atome der 'C₄H₉N-Gruppe. Dieser Effekt deutet auf eine Elektronenverschiebung vom Stickstoff zum Vanadium $(-\overline{N}=V_{-})$, verursacht durch die geringere Elektronendichte am Vanadiumatom im Trichlorid 10. Die Signale der quartären C-Atome (VNCR₃, VOCR₃) sind bei Raumtemperatur breit bzw. nicht beobachtbar. Der linienverbreiternde Einfluß der koppelnden Quadrupolkerne 51V und 14N macht sich noch bei tieferer Temperatur (193 K) trotz erhöhter Beschleunigung der Quadrupolrelaxation deutlich bemerkbar; die Halbwertsbreiten $\Delta v 1/2$ der VNC-Signale liegen zwischen 90 (7) und 30 Hz (4), der VOC-Signale zwischen 25 (5) und 6 Hz (3).

Die ¹³C-Resonanzen der Kohlenstoff-Atome, die direkt an das Vanadium gebunden sind, werden bei Raumtemperatur auch nach Verstärkung des Spektrums nicht oder nur als breite, plateauförmige Signale ohne Feinstruktur beobachtet (vgl. auch ¹H-NMR-Spektren). So erscheint z.B. bei 293 K die

¹³C-Resonanz des Methylen-C-Atoms der Trimethylsilylmethyl-Verbindung **3** (Abb. 1) erst nach genügender Verstärkung als breites Plateau mit erhöhten Rändern ($\Delta v 1/2 = 750 \text{ Hz}$) und dem Schwerpunkt bei 50,7 ppm; die abgeschätzte Kopplungskonstante $^1J_{^{13}\text{C,5}^{13}\text{V}}$ (Division der Halbwertsbreite des nicht aufgelösten Multipletts durch die um 1 verminderte Zahl der erwarteten Linien) beträgt 107 Hz. Neben dem Plateau sind im verstärkten Teil des Spektrums die Signale der quartären C-Atome der *tert*-Butoxo- (a) und *tert*-Butyliminogruppen (b) registriert. Im Gegensatz zur analogen Oxo-Verbindung

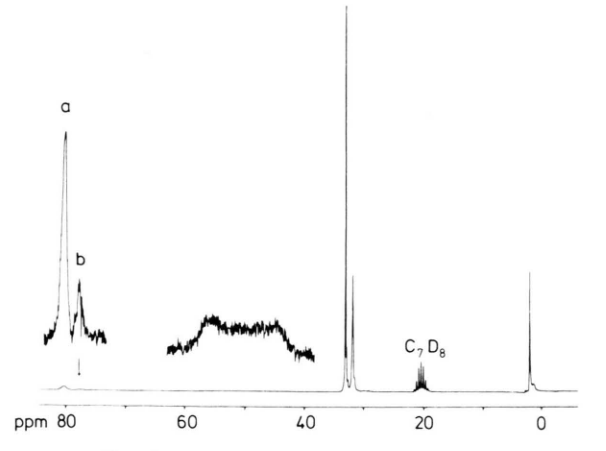


Abb. 1. $^{13}\text{C-}\{^1\text{H}\}\text{-NMR-Spektrum von}$ $^{\prime}\text{C}_4\text{H}_9\text{N} = \text{VCH}_2\text{SiMe}_3(\text{O}^{\prime}\text{C}_4\text{H}_9)_2$ (3) in C_7D_8 (293 K) mit Verstärkung der VC-, VNC- und VOC-Signale.

O=VCH₂SiMe₃(O'C₄H₉)₂ (**11**) mit ${}^{1}J_{^{13}\text{C},^{51}\text{V}} = 112 \text{ Hz}$ [2] gelingt es weder durch Temperaturerhöhung noch durch eine hohe Akkumulationsrate und eine Exponential-Multiplikation, die plateauförmige Resonanz vollständig in ein Oktett aufzulösen. Bei Temperaturerniedrigung auf 193 K fällt das Signal zu einem breiten Singulett ($\Delta v 1/2 = 80 \text{ Hz}$) zusammen.

51V-NMR-Spektren

Die ⁵¹V-NMR-Spektren der *tert*-Butylimino-σorganovanadium(V)-Verbindungen (Tab. III) zeigen im Vergleich zu den Oxoverbindungen O=VR(O^tC₄H₉)₂ [2] stark verbreiterte Resonanzlinien, verursacht durch die Quadrupolrelaxation der koppelnden ¹⁴N-Kerne. Bei höherer Temperatur wird die Quadrupolrelaxation derart verlangsamt, daß die Signale infolge Spin-Spin-Wechselwirkung zwischen den Quadrupol-Kernen ⁵¹V (I = 7/2) und ¹⁴N (I = 1), zum Teil ohne mathematische Verschmälerung der Linienbreite (Gauss-Multiplikation), in ein 1:1:1-Triplett aufspalten. In einer früheren Arbeit [2] konnten wir im 51V-NMR-Spektrum (C₆D₆) der zu 3 analogen Oxoverbindung 11 eine Kopplung des ⁵¹V-Kernes mit den Methylenprotonen der Me₃SiCH₂-Gruppe nachweisen (1:2:1-Triplett, $\Delta v 1/2 = 40 \text{ Hz}, ^2 J_{51V,^{1}H} = 13,7 \text{ Hz}).$ Bei den tert-Butyliminoverbindungen 3, 6, 7 und 1 läßt sich eine weitere Aufspaltung der einzelnen Linien des 1:1:1-Tripletts (N,V-Kopplung) in 1:2:1-Tripletts bzw. 1:3:3:1-Quartetts infolge einer H,V-Kopplung nicht beobachten.

Die $\delta(^{51}V)$ -Werte der Triorganyle ${}^{\prime}C_4H_9N=VR_3$ (Tab. III) erweitern den bislang durch Cyclo-thiazenokomplexe des Vanadiums(V) [11] begrenzten Tieffeldbereich (+600 ppm) für gelöste Vanadium-

verbindungen um nahezu 300 ppm. Die Alkyl- und Arylgruppen bewirken als weiche, polarisierbare Liganden eine beträchtliche Tieffeldverschiebung. Die zunehmende Entschirmung des 51 V-Kernes ($\delta =$ -750 bis +880 ppm) in der Verbindungsreihe ${}^{t}C_{4}H_{9}N=VX_{3}$ (X = O ${}^{t}C_{4}H_{9}$, OSiMe₃, Cl, Br [8], Mes, CH₂SiMe₃) verläuft parallel mit der Abnahme der Elektronegativität der Liganden und der Abnahme der Ligandenstärke, was sich zugleich auch mit einer abnehmenden Elektronendichte am Vanadiumatom erklären läßt. Die stufenweise Substitution der Organylliganden R durch die harte tert-Butoxogruppe führt mit zunehmender Zahl der 'C₄H₀O-Gruppen folgerichtig zu einer höheren Abschirmung, wobei sich der CH3-Ligand zwanglos in die obige Ligandenreihe zwischen Mes und CH2SiMe3 einordnet (Tab. III). Ein vergleichbarer Trend in der Änderung der δ(51V)-Werte wurde in den Verbindungsreihen $O=VX_3$ [12] und $O=VR(O'C_4H_9)_2$ [2] festgestellt.

Experimenteller Teil

Alle Arbeiten werden unter vollständigem Ausschluß von Luftsauerstoff und Feuchtigkeit (Ar-Schutzgas, aufbereitet über BTS-Katalysator und Molsieb 5 Å) durchgeführt. Die Lösungsmittel werden ketyliert. C, H, N wird mikroanalytisch mit einem "Elemental Analyser, Perkin Elmer 240", V ferrometrisch [2] bestimmt. Die Molmasse wird kryoskopisch in Benzol ermittelt. Die NMR-Spektren (¹H, ¹³C, ⁵¹V) werden mit dem Kernresonanzspektrometer Bruker WP 200 (Standard: TMS, intern; VOCl₃, extern) aufgenommen. Soweit nicht anders vermerkt, beziehen sich die δ-Werte auf 293 K.

Ausgangsverbindungen: ${}^{t}C_{4}H_{9}=VCl_{3}$ [7]; LiCH₂SiMe₃ [2]; Mesityllithium [13] (enthält LiBr!).

Verbindung	T [K]	δ [ppm]	Δν 1/2 [Hz]	$^{1}J_{^{51}\mathrm{V},^{14}\mathrm{N}}$ [Hz]	Tab. III. 51 V-NMR-Spek (C_7D_8) .
${}^{\prime}C_{4}H_{9}N = VCH_{3}(O^{\prime}C_{4}H_{9})_{2}$ (1)	263	-377	320		
,,,,,,,,,,,,,,,,,,,,,,,,,,,,,,,,,,,,,,,	378	-379*	230	102	
${}^{t}C_{4}H_{9}N = VCH_{2}SiMe_{3}(O'C_{4}H_{9})_{2}$ (3)	293	-357	270		
	333	-357*	240	101	
${}^{t}C_{4}H_{9}N = V(CH_{2}SiMe_{3})_{2}(O^{t}C_{4}H_{9})$ (6)	293	+242	270		
2,20	323	+248*	230	89	
${}^{t}C_{4}H_{9}N = V(CH_{2}SiMe_{3})_{3}$ (7)	293	+877*	240	86	
${}^{\prime}C_4H_9N = VMes(O^{\prime}C_4H_9)_2$ (4)	293	-451	300		
, , , , , , , , , , , , , , , , , , , ,	373	-437*	220	100	
${}^{t}C_{4}H_{9}N = VMes_{2}(O^{t}C_{4}H_{9})$ (5)	293	+ 70	400		
	373	+ 93**	260	85	
$C_4H_9N=VMes_3$ (8)	293	+726	380		* 1:1:1-Triplett, ** unvollständig aufgelös

Darstellung der Verbindungen

Chloro-bis(tert-butoxo)-tert-butyliminovanadium(V) (11) [8]

11 läßt sich einfacher darstellen durch Umsetzung des Trichlorids ${}^tC_4H_9N=VCl_3$ (10) mit einer äquivalenten Menge LiO tC_4H_9 . 9,25 g 10 (40,5 mmol) in 35 ml Dichlormethan werden unter Rühren tropfenweise mit 6,47 g LiO tC_4H_9 (81 mmol) in 100 ml n-Pentan versetzt. Nach 2-stdg. Rühren wird das ausgefallene LiCl abzentrifugiert, die überstehende Lösung dekantiert und das Lösungsmittel i.Vak. entfernt. Der Rückstand wird aus 50 ml n-Pentan umkristallisiert (Lösen bei R.T., abkühlen auf -78 °C, nach 24 h dekantieren und i.Vak. trocknen). Gelbe Kristalle. Ausbeute: 9,2 g (75%).

C₁₂H₂₇ClNO₂V (303,74)

Ber. C 47,45 H 8,96 N 4,61 V 16,77, Gef. C 47,3 H 8,84 N 4,6 V 16,8.

Bis(tert-butoxo)-tert-butylimino-methylvanadium(V) (1)

Zu 4,68 g 11 (15,4 mmol) in 70 ml n-Pentan werden unter Rühren bei -78 °C innerhalb 30 min 0,34 g LiCH₃ (15,4 mmol) in 25 ml Ether getropft. Man rührt 1 h bei dieser Temperatur und anschließend 3 h bei R.T. Das ausgefallene LiCl wird abzentrifugiert, das Lösungsmittel i. Vak. entfernt und der Rückstand destilliert. Bei 33-37 °C/10⁻² Torr geht ein grün-schwarzes Öl (3 g) über. Zur Reinigung wird 5-cm-Vigreux-Kolonne fraktioniert: über eine $(20-31 \text{ °C/}10^{-2} \text{ Torr});$ 2. Fraktion 1. Fraktion $(32-33 \text{ °C/}10^{-2} \text{ Torr})$. Die 2. Fraktion wird noch einmal destilliert. Hellgelbes Öl, Sdp. 25 °C/ $4 \cdot 10^{-3}$ Torr. Ausbeute: 1,4 g (33%).

C₁₃H₃₀NO₂V (283,34)

Ber. C 54,60 H 10,33 N 4,94 V 17,97, Gef. C 55,1 H 10.8 N 4,9 V 18,1.

¹H-NMR (C_7D_8): 1,35 (s, 18 H, O' C_4H_9); 1,33 (s, 9 H, N' C_4H_9).

Bis(tert-butoxo)-tert-butylimino-n-butyl-vanadium(V) (2)

Zu 3,75 g 11 (12,3 mmol) in 40 ml *n*-Pentan werden unter Rühren bei -78 °C innerhalb 15 min 7,4 ml 1,66 M *n*-hexanische Lithium-*n*-butyl-Lösung (12,3 mmol) getropft. Nach 45 min Rühren bei dieser Temperatur wird das Lösungsmittel i. Hochvak./-78 °C entfernt. Der grün-braune, hochviskose Rückstand wird i. Hochvak. langsam aufgetaut; bei 25-35 °C geht ein grün-gelbes Öl in die mit flüssigem Stickstoff gekühlte Vorlage über. Mit dem Öl sublimieren gelbe Kristalle (9) in die

Vorlage. Das Öl wird unter den gleichen Bedingungen noch dreimal destilliert; zur restlosen Entfernung von 9 wird das Destillat in 2 ml *n*-Hexan aufgenommen und mit einem Kryostaten innerhalb 54 h von +20 auf −78 °C abgekühlt. Hierbei kristallisiert 9 in hellgelben Nadeln aus. Die überstehende Lösung wird abpipettiert und das Lösungsmittel i. Vak. entfernt. Gelbes Öl, Sdp. 30−32 °C/2·10⁻⁵ Torr. Ausbeute: 0,6 g (15%).

 $C_{16}H_{36}NO_2V$ (325,41)

Ber. C 59,06 H 11,15 N 4,30 V 15,66, Gef. C 58,6 H 10,7 N 3,9 V 15,7.

 ${}^{1}\text{H-NMR}$ (C₇D₈): 1,37 (s, 9H, N'C₄H₉); 1,35 (s, 18H, O'C₄H₉).

Bis(tert-butoxo)-tert-butylimino-trimethylsilylmethylvanadium(V) (3)

Ansatz: 4,08 g **11** (13,4 mmol)/35 ml *n*-Pentan; $1.26 \text{ g LiCH}_2\text{SiMe}_3 (13.4 \text{ mmol})/25 \text{ ml } n\text{-Pentan}.$ Wie 1 behandeln. Der Rückstand wird über eine 5-cm-Vigreux-Kolonne fraktioniert: Fraktion $(42-51 \, ^{\circ}\text{C}/10^{-5} \, \text{Torr};$ 0.5 g); 2. Fraktion $(52-54 \, ^{\circ}\text{C}/10^{-5} \, \text{Torr}; 3,1 \, \text{g})$. Die 2. Fraktion wird noch einmal über eine Kolonne destilliert. Die Fraktion (51-54 °C/10⁻⁵ Torr; 2,8 g) liefert bei neben einem Destillation Vorlauf erneuter $(48-51 \text{ °C/}10^{-5} \text{ Torr})$ reines 3. Hellgelbes Öl, Sdp. 52 °C/2 · 10^{-5} Torr. Ausbeute: 1,8 g (38%).

C₁₆H₃₈NO₂SiV (355,51)

Ber. C 54,06 H 10,78 N 3,94 V 14,33, Gef. C 53,6 H 10,4 N 3,8 V 14,3.

Molmasse: Gef. 321. 1 H-NMR (C_7D_8): 1,35 (s, 18 H, O' C_4H_9); 1,33 (s, 9 H, N' C_4H_9); 0,29 (s, 9 H, SiMe₃).

Bis(tert-butoxo)-tert-butylimino-mesityl-vanadium(V) (4)

Zu einer Suspension von 2,2 g Lithium-mesityl (43% LiR = 7.4 mmol) in 40 ml n-Pentan tropft manunter Rühren bei -78 °C innerhalb 15 min eine Lösung von 2,24 g **11** (7,4 mmol) in 20 ml *n*-Pentan. Man entfernt das Kühlbad und rührt 20 h bei R.T. Nach dem Abtrennen vom Unlöslichen und Waschen des Niederschlages mit 20 ml n-Pentan werden die vereinigten Lösungen i. Vak. eingeengt. Der ölige Rückstand wird unter Lichtausschluß i. Vak. gelbes destilliert, ein Öl übergeht wobei $(120-122 \, ^{\circ}\text{C}/10^{-5} \, \text{Torr})$, das in 7 ml *n*-Pentan aufgenommen wird. Man läßt 3 d bei −78 °C stehen; die Kristalle werden durch Dekantieren abgetrennt und i. Vak. getrocknet. Gelbes Kristallpulver, Schmp. 57 °C, Sdp. 120 °C/ $2 \cdot 10^{-5}$ Torr. Ausbeute: 1,4 g (49%).

 $C_{21}H_{38}NO_2V$ (387,48)

Ber. C 65,10 H 9,88 N 3,61 V 13,15, Gef. C 64,9 H 9,71 N 3,7 V 13,2.

¹H-NMR (C_7D_8): 6,81 (s, 2H, m-CH); 2,80 (s, 6H, o-CH₃); 2,17 (s, 3H, p-CH₃); 1,36 (s, 18 H, O'C₄H₉); 1,34 (s, 9H, N'C₄H₉). ¹³C-NMR (C_7D_8): 141–127 ppm (o-, m-, p-c-Mes); 28–21 ppm (o-, p-CH₃-Mes).

Dichloro-tert-butoxo-tert-butyliminovanadium(V) (12) [8]

Vgl. Anm. zu **11.** Ansatz: 13,38 g **10** (58,6 mmol)/ 40 ml Dichlormethan; 4,69 g LiO $^{\prime}$ C₄H₉ (58,6 mmol)/ 80 ml *n*-Pentan. Wie **11** behandeln. Der ölige Rückstand wird über eine 10-cm-Vigreux-Kolonne fraktioniert; reines **12** geht als rotes Öl (54–56 °C/4·10⁻³ Torr) über und erstarrt bei R.T. zu einer orangefarbenen, kristallinen Masse.

C₈H₁₈Cl₂NOV (266,08)

Ber. C 36,11 H 6,82 N 5,26 V 19,15, Gef. C 36,1 H 6,78 N 5,2 V 19,1.

tert-Butoxo-tert-butylimino-bis(mesityl)-vanadium(V) (5)

Ansatz: 8,64 g Lithium-mesityl (43% LiR = 29,5 mmol)/60 ml n-Pentan; 3,92 g 12 (14,75 mmol)/

20 ml n-Pentan. Wie **4** behandeln, jedoch den Niederschlag mit 40 ml n-Pentan waschen. Der Rückstand wird aus 20 ml n-Pentan umkristallisiert (lösen bei R.T., abkühlen auf -78 °C, nach 5 d dekantieren und i. Vak. trocknen). Orangefarbene Kristalle, Schmp. 124-126 °C. Ausbeute: 4,5 g (71%).

 $C_{26}H_{40}NOV$ (433,55)

Ber. C 72,03 H 9,30 N 3,23 V 11,75, Gef. C 71,6 H 9,33 N 3,1 V 11,7.

Molmasse: Gef. 385. 1 H-NMR ($C_{7}D_{8}$): 6,65 (s, 4H, m-CH); 2,63 (s, 12 H, o-CH₃); 2,10 (s, 6H, p-CH₃); 1,42 (s, 9H, ${}^{\prime}C_{4}H_{9}$); 1,29 (s, 9H, ${}^{\prime}C_{4}H_{9}$). 13 C-NMR ($C_{7}D_{8}$): vgl. **4.**

Versuche zur Darstellung von 6,7 und 8

Die Darstellung von 6 und 7 erfolgte durch Umsetzung von 12 bzw. 10 mit einer äquivalenten Menge LiCH₂SiMe₃ in *n*-Pentan (vgl. 3), die Darstellung von 8 durch Umsetzung von 10 mit Lithium-mesityl (Molverhältnis 1:4) in Toluol/*n*-Pentan (vgl. 4). Die Verbindungen konnten nicht in reiner Form isoliert werden (vgl. Text); sie lassen sich jedoch eindeutig NMR-spektroskopisch charakterisieren. 6: 1 H-NMR (C₇D₈) \rightarrow 1,48 (s, 9H, i C₄H₉); 1,27 (s, 9H, i C₄H₉); 0,20 (s, 18H, SiMe₃). 7: 1 H-NMR (C₇D₈) \rightarrow 1,66 (s, 9H, i C₄H₉); 0,12 (s, 27 H, SiMe₃). 8: Ber. V 10,62; Gef. V 10,1.

^[1] K. H. Thiele, B. Adler, H. Grahlert und A. Lachowicz, Z. Anorg. Allg. Chem. 403, 279 (1974); A. Lachowicz und K. H. Thiele, Z. Anorg. Allg. Chem. 431, 88 (1977).

^[2] F. Preuss und L. Ogger, Z. Naturforsch. **37b**, 957 (1982)

^[3] W. Mowat, A. Shortland, G. Yagupsky, N. J. Hill, M. Yagupsky und G. Wilkinson, J. Chem. Soc., Dalton Trans 4, 533 (1972).

^[4] W. Seidel und G. Kreisel, Z. Chem. 22, 113 (1982).

^[5] K. H. Thiele, W. Schumann, S. Wagner und W. Brüser, Z. Anorg. Allg. Chem. 390, 280 (1972).

^[6] R. Choukroun und S. Sabo, J. Organomet. Chem. 182, 221 (1979).

^[7] F. Preuss und W. Towae, Z. Naturforsch. 36b, 1130 (1981).

^[8] F. Preuss, W. Towae, V. Kruppa und E. Fuchslocher, Z. Naturforsch. 39b, 1510 (1984).

^[9] H. O. Fröhlich und H. Kacholdt, Z. Chem. 15, 233 (1975); H. O. Fröhlich, Ch. Kälber und V. Stirnweiss, Z. Anorg. Allg. Chem. 458, 89 (1979).

^[10] M. Suzuki und R. Kubo, Mol. Phys. 7, 201 (1964).

^[11] J. Hanich, M. Krestel, U. Müller, K. Dehnicke und D. Rehder, Z. Naturforsch. 39b, 1686 (1984).

^[12] D. Rehder, Z. Naturforsch. 32b, 771 (1977).

^[13] P. R. Sharp, D. Astruc und R. R. Schrock, J. Organomet. Chem. 182, 477 (1979).